

# 金属学与热处理手册

第五分册

表面处理

冶金工业出版社



# 金屬學与热处理手册

## 第五分册 表面处理

Н. Т. 古德佐夫

М. Л. 別伦施捷茵 主編

А. Г. 拉赫施迪特

北京編譯社 譯 吳兵 校

冶金工业出版社

**金属学与热处理手册**

**第五分册 表面处理**

北京编译社 谭

— \* —

冶金工业出版社出版 (北京市灯市口甲45号)

北京市书刊出版业营业登记证字第 093 号

中央民族印刷厂印刷 新华书店发行

— \* —

1959年8月第一版

1959年8月北京第一次印刷

印数 7,010册

开本850×1163·1/32·150,000 字·印张 6— $\frac{14}{32}$  ·

— \* —

统一书号 15032·1722 定价 0.82 元

D64623

本書內容包括金屬与合金的研究試驗方法、鋼的結構和現代的状态图。根据各国最近的科学成就叙述鋼的热处理，其中包括热处理方法的分类、加热与冷却时的轉变、等溫轉变等。对苏联工厂广泛采用的热处理和表面化学热处理分別作了研究。

書中列举了各种鋼特別是合金鋼的詳細特性数据。用了較多的篇幅介紹现代机械制造工业部門必需的具有特殊物理性能和化学性能的鋼与合金。闡述了热处理的設備和工艺。詳細論述采用成套設備及建立流水作业綫时使用的进步处理方法。

本書适合冶金和机械制造厂、實驗室、科学研究机关的工程技术人员和高等学校学生閑讀。

全書分十一篇，約有126万字，是由几个单位共同翻譯的。由于篇幅較大，而且譯者脫稿時間先后不一，不能同时合訂出版。为了及时滿足广大讀者需要，本書中文譯本分十一冊出版。各分冊內容如下。

第一分冊——試驗与研究方法

第二分冊——鋼的結構

第三分冊——鋼的热处理

第四分冊——半制品的結構、性能和热处理

第五分冊——表面处理

第六分冊——建築鋼

第七分冊——机械制造鋼

第八分冊——工具鋼

第九分冊——特殊鋼与特殊合金

第十分冊——鑄鐵的成分与性能

第十一分冊——热处理車間的設計原理与典型設備

# 第五分冊 目錄

## 第五篇 表面處理

<b>第32章 鋼的高頻電流加熱表面淬火法</b>	1
1. 感應加熱時的相變	3
2. 鋼感應加熱的熱參數	6
3. 高頻淬火的加熱規範對於鋼的組織和硬度的影響	12
4. 高頻淬火對於鋼的機械性能的影響	20
靜力彎曲	20
抗扭強度	21
5. 處理滲碳製件時感應淬火法的應用	26
6. 用高頻電流加熱淬火的製件	27
7. 在工廠條件下感應淬火法的掌握	31
<b>第33章 鋼用氣體火焰加熱的表面淬火法</b>	34
1. 方法的說明和使用範圍	34
2. 淬火的方法。設備	34
3. 工藝規範	47
4. 產品質量和技術經濟指標	52
<b>第34章 噴鐵砂處理</b>	54
1. 操作要點。應用範圍	54
2. 操作的設備和材料	55
3. 操作工藝。技術檢查	56
4. 噴鐵砂處理對於鋼的組織和性能的影響	62
<b>第35章 化學熱處理</b>	76
1. 扩散過程的一般規律〔1—3〕	76
2. 扩散層的組織	78
3. 固體金屬內擴散過程的數學解釋	81
4. 鋼的滲碳	86
溫度、操作時間和鋼的成分對滲碳結果的影響	87
滲碳用鋼	91
鋼在固體滲碳劑中的滲碳	96
鋼的氣體滲碳	102

鋼在液体介質中的滲碳 .....	110
气体渗碳和固体渗碳后的热处理 .....	111
渗碳钢的组织和性能 .....	116
<b>5. 渗氮 .....</b>	<b>124</b>
抗蚀渗氮 .....	125
为增强合金钢的表面而进行的渗氮处理 .....	132
<b>6. 钢的氯化 .....</b>	<b>145</b>
机器制造用钢的氯化。液体氯化 .....	147
氯化槽的消毒 .....	155
气体氯化〔52—55〕 .....	155
机器制造用氯化钢的组织和性能 .....	157
高速钢和高铬工具钢的低温氯化 .....	158
<b>7. 渗铝，渗铬和渗硅 .....</b>	<b>163</b>
<b>第36章 金属镀层 .....</b>	<b>177</b>
<b>1. 镀层的工艺规程 .....</b>	<b>178</b>
<b>2. 表面的机械准备方法 .....</b>	<b>180</b>
<b>3. 表面的化学准备 .....</b>	<b>184</b>
<b>4. 镀层的种类 .....</b>	<b>189</b>
镀锌 .....	189
镀镍 .....	193
镀铜 .....	193
镀镍 .....	195
镀铬 .....	195
镀锡 .....	198
黑色金属的化学镀层 .....	199

## 第五篇

### 表面处理

#### 第32章 鋼的高頻電流加熱表面淬火法

热处理时使用感应加热法可以加强工艺操作，改进产品质量，大大减低制件的加工费用，并能根本改善劳动条件。发现感应淬火法的光荣应归于苏联科学家沃洛格金(В.П. Вологдин)。

高頻表面淬火法的所有主要优点，归根到底是由于能够以高速进行加热所决定的，而其所以能高速加热，则是高頻电流沿制件截面分布的特性所决定的。

大家知道，高頻电流和一切交流电一样，在沿导体流动时主要集中于表面层上。鋼件上所感应的电流大部分(85%)集中于 $\delta$ 深度：

$$\delta = \frac{1}{2\pi} \sqrt{\frac{\rho}{\mu f}}$$

式中  $\rho$ ——該种鋼的电阻系数；

$\mu$ ——导磁率；

$f$ ——电流频率。

导磁率和电阻系数值在居里点和淬火温度之间的温度范围内是完全固定的（随温度而发生的变化很小）。因此，电流透入熾热鋼內的深度（“热透入深度”）首先就决定于电流的频率。电流透入热的鋼和冷的鋼內的深度如表1所示。

为了达到尽可能最大的加热速度，必须选择电流的频率使热透入深度等于或非常接近于淬火层的厚度；而淬火层的厚度是考虑了該制件使用上的要求而规定的。

由此可见，正确地选择所用的电流频率，乃是决定表面淬火

制件质量的首要因素。正确选用电流的频率也就是解决使用某种类型发电机的合理性問題。

表 1

电流頻率和电流透入鋼內（45号鋼）深度的关系

电    流    頻    率 (赫芝)	电流透入鋼內深度(温度t=800°时)(公厘)	
	冷的 鋼	热的 鋼
10 <sup>8</sup>	0.002	0.065
10 <sup>6</sup>	0.02	0.65
10 <sup>5</sup>	0.07	2.1
10 <sup>4</sup>	0.2	6.5
2×10 <sup>3</sup>	0.5	14.5
0.5×10 <sup>2</sup>	2.4	91.4

如果淬火的深度必須在 2 公厘以下，那末，用頻率非常高（約 100000 赫芝）的电流进行感应加热最为合理，这种高频电流通常是用电子管振盪器产生的。

如果根据制件的使用条件，要求淬火深度达 6—7 公厘时，那就必須使用由机械发电机所发出的頻率約为 10,000 赫芝的电流。

第二个重要問題是选择淬火方法——加热和冷却的方法。

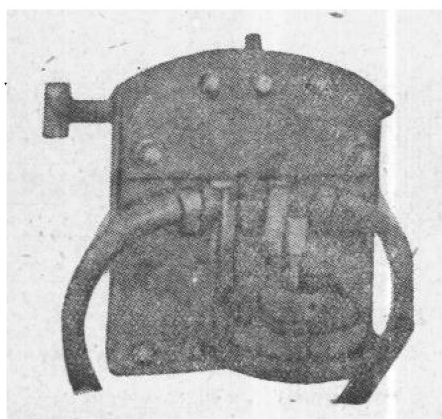


图 1 一次高頻淬火时淬

火部件的全貌

目前最通用的有三种主要的感应淬火方法。

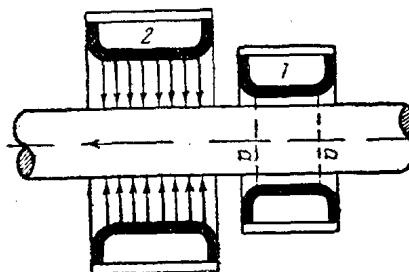
1. 一次淬火法（图 1）将所要处理的整个表面同时加热，

随后把它急剧冷却。这种方法最适宜于处理盘形制件——扁平齿轮、圆盘铣刀等等，通常要求使用功率大的发电机。

2. 連續順序淬火法(图 2)，只加热一小部分的表面；随着制件由上往下移动，使其表面順序加热。冷却时和加热时一样，也就是随着制件表面一部分一部分地順序加热后就順序一一冷却。

图 2 連續順序淬火法  
的示意图

1—感应器；2—喷射器



这种方法在处理表面大的制件时最为合适；使用这种方法时，可以利用功率不大的发电机。决定加热表面大小的感应器高度，是根据发电机的功率选定的。

3. 用直通电流法淬火(图 3)；加热是在电流直接通过零件的情况下进行的。外形复杂的零件(螺絲板、燕尾槽等等)或直径很小的孔(拉线模、阴模等)，淬火时可以使用这种方法。

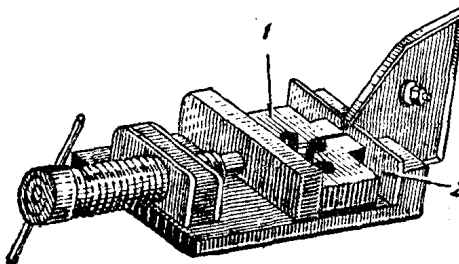


图 3 用直通电流法淬火的装置  
1—加热的制件；2—感应器

## 1. 感应加热时的相变

感应加热时，相变的主要特点如下：

1. 相当于电流透入深度的整个加热层，实际上是同时发生相变的，因为到淬火的时候这整个加热层的温度，接近完全相等。图4是截面上温度分布的示意图。

这样的温度场可以产生许多重要的优点：

- a) 减少（但不是消除）过热的危险；
- b) 在整个淬火层内建立几乎相同的组织，因而也就相应地获得相同的性能。

2. 相变的动力学决定于一系列的扩散过程，在高速加热时相变就转移到更高的温度区间（参看图5的示意图）。

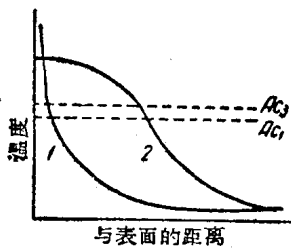


图4 淬火时截面上温度的变化

1—用氯气-乙炔火焰加热；2—感应电热

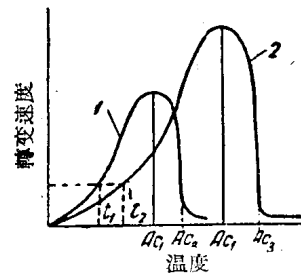


图5 加热时的相变示意图

1—普通淬火；2—高频率淬火

在快速感应加热的情况下，转变速度非常小的第一阶段在温度( $t_2$ )高于缓慢炉热的温度( $t_1$ )时结束。转变的进一步发展(速度已较第一阶段快)也以在感应加热的情况下进行的温度较高。由于这个原因，高频率淬火是在加热到比普通炉子加热时更高的温度下进行的。在  $A_{c3}$  (按平衡图)以上的转变程度是与加热速度有着直接的关系。根据X-射线照像测定淬火钢(含碳0.75%)马氏体内含碳量的结果，可作为这些情况的实验证明。如果说在加热到780°进行普通淬火后奥氏体中的碳便完全溶解，那末在加热速度120°C/秒的高频率淬火时，只有加热至920°才能使碳得到完全溶解(表2)。

3. 珠光体-奥氏体转变不是一个不变的温度  $A_{c1}$  发生的，而是发生于某个温度范围内，加热的速度越大，发生珠光体-奥氏体转变的温度范围就越大。而且转变是在温度略高于  $A_T$  时

开始，这时已为奥氏体晶核的产生和稳定存在创造了足够的条件。

表 2  
含碳 0.75 % 的钢感应淬火时，碳在奥氏体中的溶解程度与  
淬火温度的关系；加热速度  $120^{\circ}\text{C}/\text{秒}$

淬火温度 ( $^{\circ}\text{C}$ )	淬火后马氏体中碳的含量 (%)	溶解的完全程度 (%)
720	0.29	38
760	0.34	45
840	0.52	69
880	0.64	85
920	0.75	100
960	0.75	100
1000	0.75	100

4. 如果说缓慢加热时，输入的热量等于或仅稍大于珠光体-奥氏体转变时吸热反应所需的热量（加热曲线上的“平台”），那末在感应加热（内部热源）时，把供应的热量增加到大大超过珠光体-奥氏体转变时吸热反应所需的热量是没有原则性的困难的。供应的热量超过转变所需热量的多余部分，则用于迅速提高被加热金属的温度。

5. 在普通缓慢加热时，珠光体-奥氏体的转变在铁素体转变为奥氏体之前就告结束。铁素体-奥氏体的转变是在碳不断扩散的条件下进行的；转变结果而形成的奥氏体含碳多于原来的铁素体。奥氏体量的增加决定于碳在铁素体-奥氏体交界上的扩散速度。

在快速感应加热时所供给的热量是很大的，超过珠光体形成奥氏体所需的热量几十倍以上，而且其中大部分热量用于提高温度，因此在珠光体未来得及转变为奥氏体之前，金属就可能已加热到同质异形转变的温度 ( $t = 910^{\circ}$ )。在这种情况下，同质异形转变将在珠光体区域尚未完全转变成奥氏体之前先行结束。

在加热速度超过碳的扩散过程的条件下，由于温度迅速提

高，可能使鐵素体轉变为低碳奧氏体。

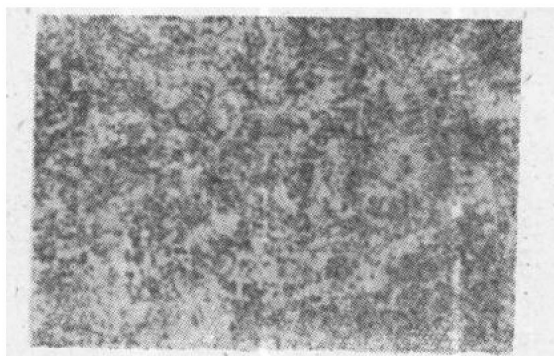


图 6 Y8 鋼由  $930^{\circ}$  淬水后所得的組織，加热速度  
 $1950^{\circ}\text{C}/\text{秒}$ 。照片是从經电解腐蝕的磨片上摄取的。 $\times 500$

图 6 是以  $1950^{\circ}\text{C}/\text{秒}$  速度加热到  $930^{\circ}\text{C}$  水淬后的 Y8 鋼的显微組織；珠光体內的渗碳体仍保留片状性質。这一点說明了当加热速度很高的情况下，甚至在  $t = 930^{\circ}$  时珠光体区域轉变为奧氏体的过程尚未結束。

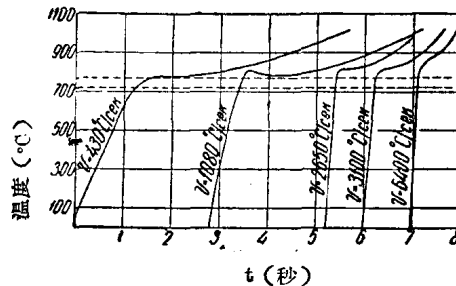
由此可见，感应加热时相变的第五个特点是：珠光体-奧氏体轉变的終了溫度可能移至超过自由鐵素体同質異形轉变的溫度。

## 2. 鋼感应加熱的熱參數

图 7 是利用示波器記載过程的方法所得出的加热曲綫。在表面层失去铁磁性后，表面层的加热大大減緩，这是由于电流的重新分布和制件各个截面上的溫度梯度产生相应的变化而造成的。随着这种变化而发生的热量向内层的急遽迁移，不仅可能使表面层溫度停止上升，甚至也可能使表面层受到某些程度冷却。按照图 8 所列的示意图，加热的动力学可以随制件的形状和尺寸、鋼的成分和原始組織的性質而发生变化。加热动力学的区别决定相变进行的各种条件。但如果为了实践的目的，容許有一定程度的誤差，则把室溫到淬火溫度的整个加热过程分为二个基

本不同的阶段就够了：1) 由室温到居里点；2) 由居里点到淬火温度（图9）。

图 7 35号钢的加热  
曲线，试样  $d = 12$  公厘



根据感应加热时发电机和加热装置的类型，加热速度在居里点以下的温度区间内和在居里点以上的温度区间内（图9的曲线1和2）有很大的区别。因此，在相同时间内加热到相同温度时，通过发生形成奥氏体主要过程的温度区间的时间是不相同的。根据这个原因，不应当采用一个总的时间（相应地也不应当采用平均加热速度）作为感应加热的客观参数。

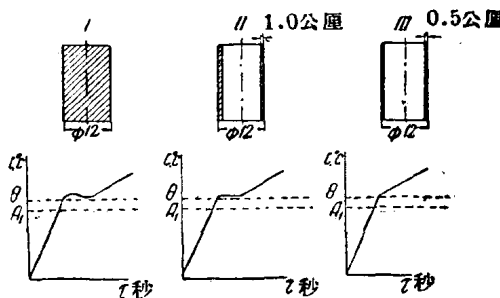


图 8 感应加热动力学的几种形式（随热量向试样内层迁移的变化而定）

I—实心试样的加热；II—壁厚1公厘管子（在本例子中）  
的加热；III—壁厚0.5公厘管子（在本例子中）的加热

钢感应加热的客观参数是：淬火温度和相变区内的加热速度。

一次加热时淬火温度是用光电高温计测定，連續順序淬火时淬火温度则用灯丝隐灭式光学高温计测定（如图10所示）。熾热

灯絲是預先調整到要進行淬火的溫度，在加熱過程中使制件加熱部位的顏色達到和熾熱燈絲的顏色一致。

為了計算在某個溫度區間內的加熱速度，就必須有加熱曲線，這種曲線或用示波法得出（見圖7），或簡單地根據加熱到規定溫度所必需的時間作出。無論用哪一種方法，所得出來的曲線都能說明各該具體條件（給定的鋼的成分、制件的類型、具體的感應器和具體的發電機）下加熱過程的進展。

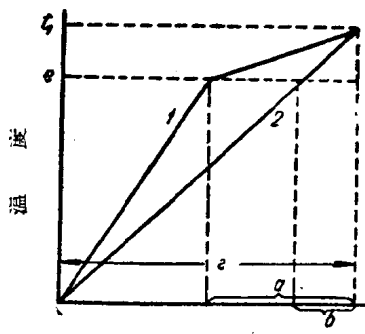


图 9 溫度隨時間的變化性質與單位功率的關係（示意圖）

1—在居里點以上大大減緩速度的加熱；2—在居里點溫度以上不減緩速度的加熱

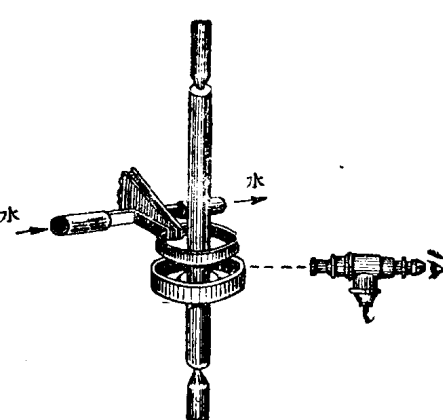


图 10 利用光學高溫計測量  
高頻加熱的溫度

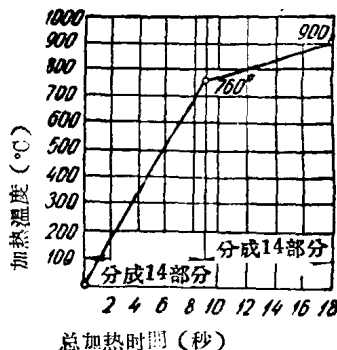
我們來研究一下圖11上簡化的典型曲線所用的計算加熱速度的方法。在該情況下，第二個溫度區間到 $900^{\circ}\text{C}$ 為止（由居里點開始），該溫度區間所需的加熱時間與由室溫到居里點（ $760^{\circ}\text{C}$ ）的溫度區間所需時間相同。

將 $760^{\circ}$ 到 $900^{\circ}$ 的溫度區間分成14個部分，每個部分相當於 $10^{\circ}$ 。同樣將通過上述溫度區間所需的时间也分成14個部分。

因為由室溫加熱到 $760^{\circ}$ 的時間同樣是這麼長，那末在這種情況下也應當將它分成14個部分。兩個溫度區間的時間單元是相同的，但溫度單元各不相同。在上面的溫度區間，溫度單元為

10°。在下面的溫度區間（對本例來說）溫度單元則等於  $\frac{760-20}{14}$   
 $= 53^{\circ}$ 。

圖 11 含碳 0.57% 和含鉻  
2% 的鋼，在用 T3—46 电子  
管振盪器和單圈感應器加熱  
時的感應加熱曲線



我們再用具體的例子來說明下一步的計算過程。

假設制件的長度  $L = 210$  公厘，在高度  $h = 10$  公厘的感應器內加熱時經過 18.5 秒鐘達到  $970^{\circ}$  溫度，試求出加熱的速度。

計算時我們建議採用以下的公式：

$$v_s = \frac{(t_{\text{sink}} - \Theta)(L - l)}{(B_t - B_{\Theta}) h}.$$

已知值：  $t_{\text{sink}}$ ——淬火溫度；  $\Theta$ ——居里點；  $B_t$ ——達到淬火溫度時的總加熱時間。

未知值：  $v_s$ ——在相變範圍內加熱的速度；  $B_{\Theta}$ ——加熱到居里點所耗的時間單元。

我們是這樣求出  $B_t - B_{\Theta}$  之差的： 加熱到居里點所耗的時間共為 14 個部分：由居里點加熱到  $970^{\circ}$  所耗的時間為 21 個部分

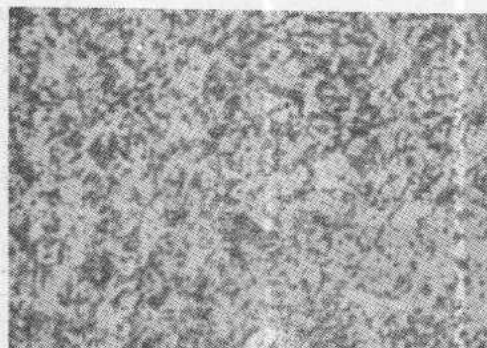
（按照每一部分相當溫度  $10^{\circ}$  時所得的數： $\frac{970-760}{10} = 21$ ）。

因此，達到  $t = 970^{\circ}$  時需要耗費  $21 + 16 = 37$  個相等時間單元。

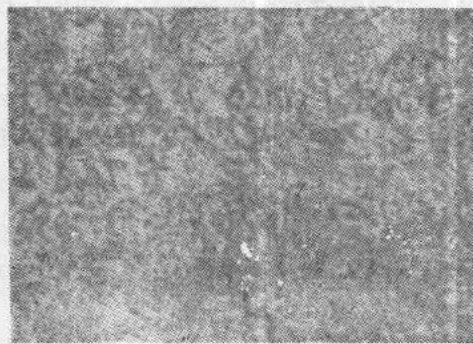
那末，總時間（18.5秒）是 37 個部分，而  $B_t - B_{\Theta}$  之差（ $x$ 秒）是 21 個部分。



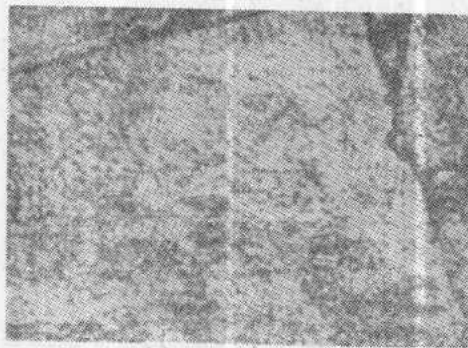
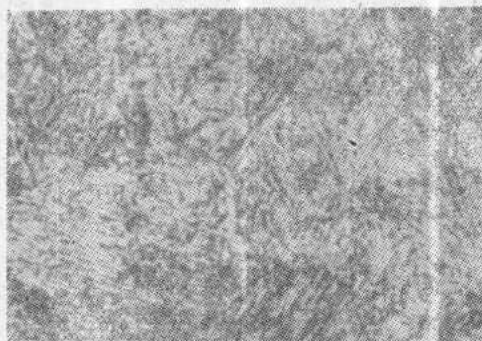
a



b



c



b

图 12 高频淬火的温度对于 50 号钢组织的影响。 $\times 500$

a—原始组织; b—在加热速度 $380\sim400^{\circ}\text{C}/\text{秒}$ 时,

由  $t=860^{\circ}$  温度高频淬火后钢的组织; c—同上,

由  $t=940^{\circ}$  温度高频淬火后钢的组织; d—同上,

由  $t=1100^{\circ}$  温度高频淬火后钢的组织; e—同上,

由  $t=1320^{\circ}$  温度高频淬火后钢的组织